

討 6 熔鋼の流滴脱ガス法における脱水素機構

物 日本製鉄所 室蘭製作所

前川 静称 中川 敏隆

福本 晴 谷口 美造

I. 緒言

鋼に対する各種ガスの溶解度は、溶鋼と固体鋼とでは大きな差があり、凝固過程において大量に放出され、鋼塊にガローホール、ピノホールなど多く欠陥を惹起する。特に水素含有量の高い場合は、氮化系の欠陥の外にちず、硫化物系介在物等の鋼との界面で偏析し、製品の材質を著しく劣化させる原因となる。鋼塊中の水素の除去は、連続方式の熱処理によっても行われるが、大型鍛造品のように、水素の含有量が他の偏析を嫌う場合には、溶解・造塊時に水素を制御する必要がある。凝固過程において溶鋼が直接水素と接触する機会は、極めて少なく、大気中の差分、投入原料、および差物の水溶などのが、主な根源となる。水素を含めた有害ガス成分の含有量を少なくす手段として、真空造塊法が、近年、盛に利用され、種々の方法が用いられている。当所においても流滴脱ガス法による真空造塊法により、大型鍛造用鋼塊を製造し、良好な成績を収めている。高温減圧下における脱ガスの機構は、極めて複雑ではあるが、真空造塊をより効果的に実現し、より高品位の鋼塊を製造するためには、その機構を明らかにし、それを定量的に把握する必要がある。本研究は、流滴脱ガス法における実績を検討しつつ、その機構について考察を加えたものである。

II

1) 流滴脱ガス法

流滴脱ガス法による真空造塊は、真空タンク内に鋳型を置き、タンク内を予め減圧にして後、タンク上に置いた溶鋼鍋からタンク上部のシール板を破って、直撃鋳型内に溶鋼を鋳込む方法である。装置の概要を、図1に示す。溶鋼は減圧下のタンク内に入り、細かい液滴となり、そのままタンク内を落下さい鋳型内に注入される。周知の如く溶鋼の水素溶解度は、Sievertsの式に従い、下記の如く示される。

$$[H] = K_H \sqrt{P_{H_2}} \quad \dots \dots \dots (1)$$

真空タンク内の真空中度が非常に高く、實際上、水素分圧が0と考えられるような場合、溶鋼表面は、真空タンク内に入ると同時に $P_{H_2} = 0$ の界面と接し、液滴の表面における水素濃度は瞬時に0となる。その後鋳型やアプローフの排氣が完全に行われ、界面側の水素放出における抵抗が無視できれば、時間とともに液滴内の水素は減少する。従って、溶鋼の体積に比して、界面との接触面積が大きい程、すなわち液滴が小さな程、又、接触時間が長程、脱ガスの効果が大きい。しかし液滴の大きさが小さくなる程、溶鋼の温度降下も大であり、又、液滴の落下距離は、装置の大きさによって決定される。液滴の大きさは、真空タンク内の真空中度によって左右され、真空中度が高程、小さい液滴を得られる。追憶時にあける液滴供給状況を、写真1、および、写真2に示す。

一般に溶解しているガスは、その濃度に応じた平衡分圧を有するが、次式の如く、これがある大きさ以上になると反応となって放散される。

$$P_{H_2} > P + \rho g h + 2\sigma / r \quad \dots \dots \dots (2)$$

ここで、 P_{H_2} : 平衡分圧, P : 露出面の圧力, $\rho g h$: 溶鋼の静圧 (P : 溶鋼の密度, g/cm^3)

g : 重力の加速度 cm/sec^2 , h : 放散発生位置の溶鋼表面からの距離, cm), σ : 溶鋼の表面張力 $dyne/cm$.

r : 反応半径, cm

流滴脱ガス法の場合、溶鋼が真空タンク内に入れた瞬間、その表面が減圧下にさらされるため、初期水素量に応じて、反応が形成され、放出する量によって、写真1、2の如く溶鋼が爆散する。この場合、露田圧力はタンク内真空中度が高程、程小さくなり、(2)式より、反応が発生が大となる、爆散も激しくなる。又、(2)式により、溶鋼の初期水素量が多程、 P_{H_2} が大となるから、真空中度前の水素濃度が高程、爆散量が大となる。反応は、溶鋼表面から排出されると、内部ガスの膨脹により、破裂し、溶鋼は細い液滴となって落下する。落下中、その表面は、水素分圧 $P_{H_2} = 0$ の露田圧(実際には、 $P_{H_2} < 0$ であるが、高真空中の場合は、0に近似する)に接し、その表面水素濃度は、0となり、液滴内部の水素濃度との差にもとづく、蒸発が起こる。

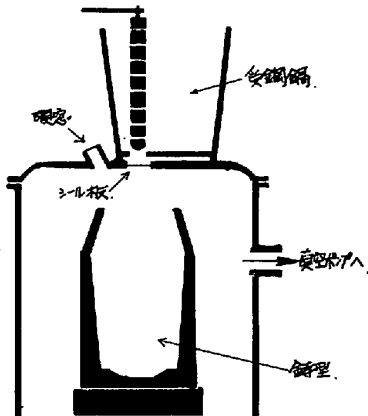


図1 流滴脱ガス装置の概要

driving force として振動放出により脱木素が行われる。この場合、放熱ガスの漏出気への移行が十分速いのであり、かつ揮発系が完全に作用して、飛沫表面水素濃度が常に 0 と考えることができるば、脱木素の速度は、飛沫内部の水素の拡散速度によって律速される。



写真1. 鋼製飛滴器散状況. No.1. 貨空度 18 mm Hg.
0 10 20 (cm)



写真2. 鋼鉄流滴恒温水槽, No.2. 車室度. 6 mm Hg.
9-19. 30 (cm)

2). 水素状態鋼からの水素の拡散放熱

液滴の形状を、球と仮定し、容器が液滴となって真空タック内に入り、時間 t 、時刻 $\tau = 0$ とする。そのとき容器中の水素濃度分布は、半径方向の座標 r の函数 $f(r)$ で、 $\tau = 0$ で瞬間的に液滴の表面濃度が 0 になったとする。その他の液滴内水素濃度は、時間 τ と、 r との函数で $C(r, \tau)$ で表わされる。容器中にあらる水素の拡散係数を D とすると、 $C(r, \tau)$ は、次式から求まる。

(3) 式を、(4). (5) の条件の下で解くと

$$C(r,t) = \frac{2}{\pi r} \sum_{n=1}^{\infty} \left\{ \exp\left(-\frac{n^2 \rho \pi^2}{a^2} t\right) \sin \frac{n\pi}{a} r \int_0^a f(s) \sin \frac{n\pi}{a} s ds \right\} \dots \dots \dots (6)$$

(6)式にあいて、 $f(t)$ を一定($=C_0$)として計算し、時刻 $t=t$ における液滴中の平均水素濃度 C_m と t との関係を 図 2 に示す。計算に際して、液滴中にあける水素の拡散係数として、車両等の測定値、 $D=10^{-3} \text{ cm}^2/\text{sec}$ を用いた。又同図には、参考のために、液滴とならずに、ストリーフ状(円柱:半径 a)となつて落下する場合についても示した。

一方、密閉容器内に入つてから落下する時間

と、始めると次のようになる。

$$t = \left(\frac{2}{g}\right)^{\frac{1}{2}} \left[(H+h)^{\frac{1}{2}} - H^{\frac{1}{2}} \right] \quad \dots \dots \dots \quad (7)$$

ここに も：落下に要する時間(sec)

3: 重力の加速度 (m/s^2)

H: 取鍋內湯鍋高さ (cm)

(大気圧を考慮して換算したものも含む)

b: 葵下距離 (cm)

今、例として、(1)式に $H = 200 + 148$, $b = 300$, $g = 980$ を

代入すると $t = 0.345 \text{ sec}$ となる。

このように真空タンク内における溶鋼の滞留時間は非常に短かく、
又2回の計算結果と比較して、流速半径がかなり小さい場合でないと
捕獲率の実験は行なうことになる。すなわち第2回にされば

C_m が初期濃度の $\frac{1}{2}$ 以下 ($C_m/C_0 \leq \frac{1}{2}$) になると吸収

を、落下時間約0.3秒で行うには、半径1mm以下の
飛滴にあつて落せれば「落到底」。

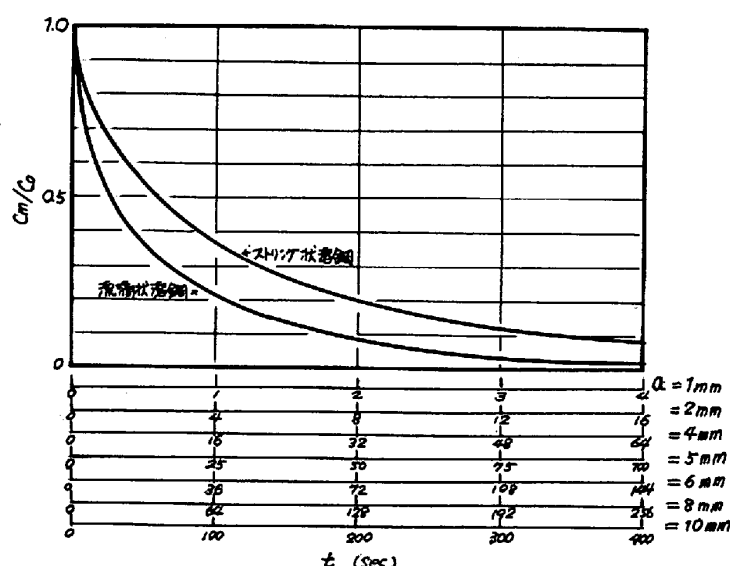


図2 流通(又は、ストリップ状)状態鋼引ひき水素の蒸散挙動

しかし、写真 1 および 2 で明らかの如く、廻型タンク内ですべての溶鋼が半径 1mm 以下の微細な液滴になることは考えられない。

3) 液滴脱ガス法による脱水素の実験

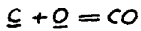
液滴脱ガス法によって廻型造塊を行なった場合の脱水素の実績における廻型造塊により処理前水素量の約 50%以上は脱ガスされている。したがって液滴からガス放出のみで実際の脱水素機構を説明することができない。

4) 実際操業時ににおける脱水素機構

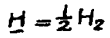
上述の如く、実際操業に於ける結果と、液滴表面からのガス放出による脱水素機構が、理論的に期待される脱水素効果には差がある。したがつて実際の脱水素は、他の因子が種々に關与した機構によって行なわれるものと思われる。すなわち廻型処理においては脱水素と同時に脱酸、脱窒が行なわれる。特に脱酸は C-O 反応により CO ガスを発生し、CO 気泡中の水素の放出による脱水素も行なわれる。水素ガスあるいは CO ガス気泡のできる条件として (2) 式に示した如く、気泡の内圧 P_b が、発生位置における界面圧力 P_s と溶鋼の静圧 P_0 にうちかつばかりではなく溶鋼の表面張力 γ と気泡半径 r によってきまる内部圧 $2\gamma/r$ をも含めた大きな圧力を有しなければならない。今廻型タンク内に溶鋼が注入された瞬間、その表面直下 $r=r$ の位置で、半径 r の気泡が形成されると考え、近似的に界面圧 $P_s=0$ と仮定すると、次式が成立する。

$$P_b > P_s + \frac{2\gamma}{r} + 2\gamma r \quad \dots \dots \dots (8)$$

気泡内部圧が (8) 式の右辺に等しいなる時の臨界圧 P_c と気泡半径 r との関係を、図 3 に示す。図 3 より明らかな如く、臨界気泡内部圧は、ある気泡半径に対する最小値を有し、それを満足されば、この半径の気泡が形成される。すなわち溶鋼の表面張力を、1200 dyne/cm とした場合、 $P_c = 6$ atm となる。次に、C-O あるいは H₂-H 反応の平衡から、 P_c に対応する酸素あるいは炭素、あるいは水素濃度を求める。



$$\log K = \log P_{CO}/(P_O \cdot a_O) = 1160/T + 2003 \quad \dots \dots \dots (9)$$



$$\log K = \log a_H/(P_{H_2}^{1/2}) = -1670/T + 232 \quad \dots \dots \dots (10)$$

において、1600°C における平衡恒数はそれされ 449、すなは 2.7×10^{-3} C-O 反応に対して、 $P_{CO} = P_c (\pm 6 \text{ mmHg})$ を満足する溶鋼中の酸素あるいは燃素濃度を求めて、図 4 に示す。但し、 $a_C = [C] / C$ 、 $a_O = [\%O]$ とした。

又、 $H \rightleftharpoons \frac{1}{2} H_2$ 反応における平衡関係を 図 5 に示す。

図 4 から、0.2% C 程度の鋼にあたは、酸素 0.6 ppm 以上あれば廻型造した溶鋼の表面直下より、CO ガスが発生し得ることわかる。又図 5 より水素 24 ppm 以上では、水素ガスの発生が可能である。CO ガスあるいは H₂ ガスのいずれの気泡発生が優先するかを推定することは、CO ガスの発生が反応に伴うものであり、又、気泡発生の nucleation site をどのように考えらるによって、発生速度あるいは臨界半径に差が生ずるため、困難であるが、溶鋼が廻型タンク内に入りて瞬間にあり得る溶鋼の微細化、その結果生ずる液滴の大きさには、CO ガス気泡の生成を十分考慮しなければならない。これは明らかで、CO 気泡中の水素の吸収による脱水素効果は、馬程する二通りできたり因子であるといえる。

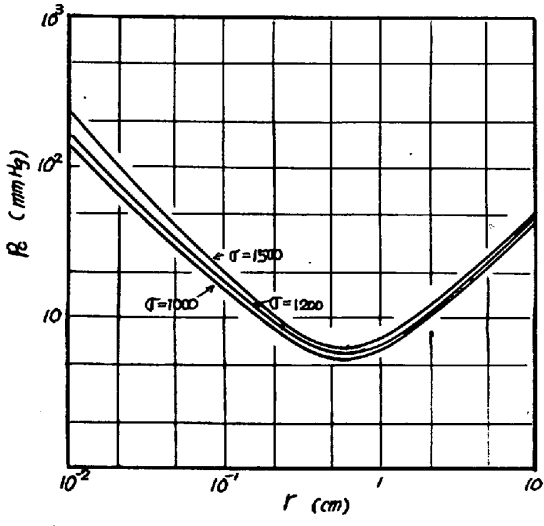


図 3. P_c と r との関係。

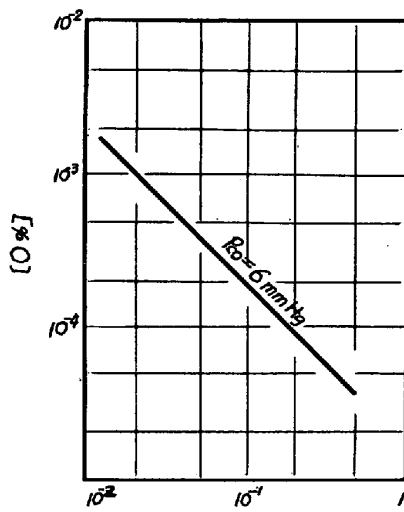


図 4. $P_c = 6$ mmHg における O および C の平衡濃度。
(1600°C)

III. 結言

流滴脱ガス法による真空乾燥における"漏鋼"の真空処理前水素量の約50%以上は脱がれる。漏滴脱ガス法の脱水素は、真空タクター中に細かく分散した漏滴状漏鋼の表面から構造放出されることによって行われるといわれている。(もし漏滴を球状と仮定して種々の大きさの漏滴から放出される水素量を理論的に求めたが、50%以上の脱水素効果を説明するには、実際操業時の漏滴大きさよりかなり小さい漏滴になつなければならぬ)ことがわかった。したがてC-O反応に伴うCOガス気泡の発生とその気泡への水素の吸収による脱水素の機構を無視し得ることのできないものである。

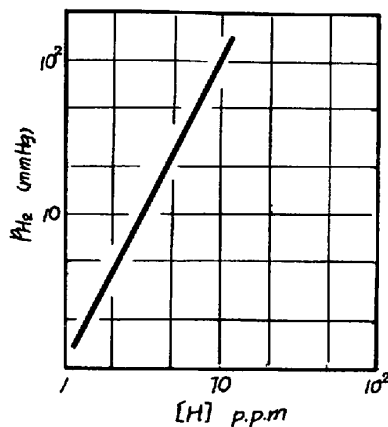


図 5 漏鋼中の水素濃度と平衡圧(1600°C)